

## جایگاه تبارشناختی و تنوع ژنتیکی خرس‌های قهوه‌ای ایران (*Ursus arctos*) براساس ناحیه کنترل میتوکندری

- محمد رضا اشرفزاده: گروه شیلات، دانشکده منابع طبیعی و علوم زمین، شهرکرد
- محمد کابلی\*: گروه محیط زیست، دانشکده منابع طبیعی، دانشگاه تهران، کرج، صندوق پستی: ۴۱۱۱
- محمدعلی ادبی: اداره کل حفاظت محیط زیست استان سمنان
- امید یوسفی: اداره کل حفاظت محیط زیست استان آذربایجان غربی، ارومیه
- محسن امیری: اداره کل حفاظت محیط زیست استان ارستان، خرم‌آباد
- محمد رضا مسعود: اداره کل حفاظت محیط زیست استان آذربایجان شرقی، تبریز

تاریخ دریافت: مرداد ۱۳۹۵      تاریخ پذیرش: آبان ۱۳۹۵

### چکیده

خرس‌های قهوه‌ای، برخلاف سایر گوشت‌خواران پرتحرک، ساختار ژنتیکی کاملاً مشخصی را در سطح جهان نشان می‌دهند که در برگیرنده چندین کلاد میتوکندریایی است. علاوه بر این، جمعیت‌های خرس قهوه‌ای در خاورمیانه از جمله ایران در تهدید قرار دارند. با این وجود، هنوز جایگاه تبارشناختی و تنوع ژنتیکی این خرس‌ها در مقایسه با تبارهای جهانی خرس قهوه‌ای در ابهام قرار دارد. در پژوهش حاضر، ۵۰ نمونه (اعضله، پوست و مو) متعلق به خرس قهوه‌ای از ایران گردآوری شد. تحلیل‌ها براساس یک قطعه ۶۱۴ جفت باز از ناحیه کنترل میتوکندری انجام شد. براساس یافته‌ها، خرس‌های ایران در مقایسه با خرس‌های قهوه‌ای مناطق دیگر جهان تنوع هاپلوتاپی به نسبت زیادی (۵۰ فرد، ۲۲ هاپلوتاپ) را نشان دادند. تحلیل‌های این ناحیه میتوکندریایی، خرس‌های ایران را در یک کلاد مادری کاملاً مجزا از دیگر کلادهای جهانی قرار داد، که در برگیرنده دو-سه زیرکلاد گیتاشناختی شامل ۱) زیرکلاد البرز: خرس‌های ساکن کوههای البرز تا ارسپاران، ۲) زیرکلاد زاگرس: خرس‌های غرب کشور از کوههای سهند (آذربایجان شرقی) تا زاگرس جنوبی (کازرون) و ۳) زیرکلاد فارس: خرس‌های ساکن جنوب شرقی زاگرس (مرودشت تا اقلید، استان فارس) است. یافته‌های FST و AMOVA، وجود ساختار ژنتیکی معنی‌داری را بین زیرکلادهای خرس قهوه‌ای در ایران تأیید می‌نماید. بنابراین، جمعیت‌های امروزی خرس قهوه‌ای در ایران، علاوه بر تنوع هاپلوتاپی به نسبت زیاد، ساختارهای گیتاشناختی مشخصی را نمایش می‌دهند.

**کلمات کلیدی:** خرس قهوه‌ای، تنوع هاپلوتاپی، زیرکلاد، البرز، زاگرس



مقدمة

ساختار تبارگیتاشناختی گستردگی (براساس ژنوم میتوکندری) را در سطح جهان نشان می‌دهند (Davison و همکاران، ۲۰۱۱؛ Calvignac و همکاران، ۲۰۰۸). در این میان، خرس‌های قهوه‌ای در خاورمیانه از جمله ایران بخش عمده‌ای از گستره تاریخی خود را از دست داده و در خط انقراض هستند (Boitani و همکاران، ۲۰۰۸؛ Calvignac و همکاران، ۲۰۰۹). از سوی دیگر، توسعه و گستردگی فعالیت‌های انسانی در ایران (به عنوان کشوری در حال توسعه) می‌تواند پیامدهای جبران‌ناپذیری بر جمعیت‌های گوشت‌خواران بزرگ جهش (مانند خرس قهوه‌ای) داشته باشد. بنابراین دست‌یابی به دانش قابل اطمینان در زمینه تنوع و وضعیت ژنتیکی جمعیت‌های خرس قهوه‌ای در مناطق مختلف کشور از اهمیت بالایی برخوردار است. در این پژوهش، تلاش برای است که با استفاده از ناحیه کنترل (Control region) میتوکندریایی (Calvignac و همکاران، ۲۰۰۸) مقداری از تنوع ژنتیکی خرس‌های قهوه‌ای ایران در مقایسه با سایر خرس‌های قهوه‌ای جهان مورد ارزیابی قرار گیرد.

مکانیزم

محدوده مورد مطالعه، در برگیرنده گستره زیستگاه‌های خرس قهوه‌ای در کوه‌های البرز، زاگرس و آذربایجان است. تعداد ۵۰ نمونه (اعضله، پوست و مو) از سال ۱۳۹۱ تا ۱۳۹۴ گردآوری شد. شکل (۱) موقعیت گیتاشناختی نمونه‌های استفاده شده در تحلیل‌های ژنتیکی را نشان می‌دهد. برای استخراج دی‌ان‌ای از کیت مخصوص استخراج دی‌ان‌ای از بافت ساخت شرکت‌های کیاژن و بیونیر و با دستورالعمل شرکت سازنده استفاده شد. برای تکثیر توالی‌های مورد نظر از دی‌ان‌ای با غلظت ۲۰ تا ۸۰ نانوگرم استفاده شد. واکنش زنجیره‌ای پلی‌مراز (PCR) در حجم ۲۵ میکرولیتر و با استفاده از مستر میکس با غلظت ۱/۵ میلی مولار  $MgCl_2$  ساخت شرکت امپلیکن دانمارک انجام شد. ترکیب مستر میکس شرکت امپلیکن به شرح زیر است: Tris-HCl با pH ۸/۵،  $(NH_4)_2SO_4$ ، ۳ میلی مولار از ۰/۲٪ Tween®20،  $MgCl_2$  از ۰/۰٪، dNTP از ۰/۱٪، میکرولیتر امپلیکن Taq از ۰/۰۵٪، میکرولیتر از هر ۰/۰۵٪، میکرولیتر کاررفته PCR در حجم ۲۵ میکرولیتر پلی‌مراز. ترکیب مواد به کار رفته در واکنش PCR شامل ۱۲/۵ میکرولیتر از مستر میکس، میکرولیتر ۰/۱ از هر کدام از آغازگرهای رفت و برگشت، ۱ میکرولیتر دی‌ان‌ای و ۹ میکرولیتر آب دو بار تقطیر استفاده شد. در هنگام آماده‌سازی نمونه‌ها برای واکنش PCR، یک میکروتیوب به عنوان کنترل منفی در نظر گرفته شد. یک قطعه ۶۱۴ جفت باز مربوط به بخشی از ناحیه کنترل میتوکندری و بخش انتهایی ۵' در ژن Pro-tRNA با استفاده از جفت آغازگر اختصاصی (Hailer و همکاران، ۲۰۱۲) تکثیر شد:

در طول قرن‌های اخیر جمعیت‌های خرس قهوه‌ای، به‌ویژه در اروپای غربی، بخش‌های جنوبی آمریکای شمالی، جنوب آسیا و آفریقای شمالی آسیب‌های زیادی را از دست‌اندازی‌های مستقیم انسان و تغییر زیستگاه‌ها متحمل شدند. خرس‌ها در برخی از این مناطق به‌طور کامل نابود شدند و یا کاهش قابل توجهی را تجربه کرده و به جمعیت‌های کوچک و مجزا محدود شدند (Swenson و همکاران، ۱۹۹۹؛ Zedrosser و همکاران، ۲۰۱۱) و به جمعیت‌های کوچک و مجزا محدود شدند (Servheen و همکاران، ۲۰۰۱). در سطح جهانی، تعداد و گستره توزیع خرس قهوه‌ای در طول سال گذشته در حدود ۵۰ درصد کاهش داشته است (Servheen، ۱۹۹۰). از نظر تاریخی، خرس‌های قهوه‌ای بخش گسترده‌ای از خاورمیانه- از صحراي سینا تا نواحی كوهستانی ایران- را اشغل می‌کردند (Boitani و همکاران، ۲۰۰۸)، در حالی که امروزه فقط به صورت جمعیت‌های کوچک و مجزا در ایران، عراق و ترکیه حضور دارند (Calvignac و همکاران، ۲۰۰۹؛ Boitani و همکاران، ۲۰۰۸؛ Ridings و همکاران، ۲۰۰۶). خرس‌های قهوه‌ای خاورمیانه که از آن‌ها به عنوان جمعیت‌های غفلت شده یاد می‌شود، جزو جمعیت‌های در خطر انقراض هستند (Davison و همکاران، ۲۰۱۱؛ Calvignac و همکاران، ۲۰۰۹؛ Togan و Boitani و همکاران، ۲۰۰۸؛ Ridings و Can، ۲۰۰۶). از سوی دیگر، تمايزهای ریخت‌شناختی اساسی بین خرس‌های قهوه‌ای در مناطق مختلف، توصیف شمار زیادی از زیرگونه‌ها را در اوراسیا در پی داشته است. در طبقه‌بندی‌های اولیه بیش از ۲۰۰ زیرگونه و در جدیدترین بازنگری‌ها تعداد هشت زیرگونه معروفی شده است (Korsten و همکاران، ۲۰۰۹). بهر حال، تحلیل‌های ژنتیکی توافق چندانی با این فهرست‌ها نشان نمی‌دهند. برای نمونه، تحلیل توالی‌های سیتوکروم b و ناحیه کنترل میتوکندری، فقط یک هاپلوگروپ را در تمام جمعیت‌های خرس قهوه‌ای ساکن در شمال اوراسیا شناسایی نموده است (ناحیه‌ای به اندازه ... کیلومتر از شرق تا غرب) (Korsten و همکاران، ۲۰۰۹). با این وجود، ممکن است عوامل بوم‌شناختی در مقایسه با عوامل ژنتیکی توضیح بهتری را برای وجود اختلاف‌های ریخت‌شناختی بین زیرگونه‌های شناسایی شده-زیرگونه‌هایی که بر اساس تمايزهای ریخت‌شناختی توصیف شده‌اند و تحلیل‌های ژنتیکی توافقی با آن‌ها ندارند- ارایه دهند (Paetkau و همکاران، ۱۹۹۸). در مجموع هنوز توافق همگانی در زمینه آرایه‌شناسی خرس‌های قهوه‌ای

مدیریت و حفاظت از حیات وحش نیازمند داشتن تصویری جامع از تنوع و تغییرپذیری ژنتیکی در ساختارهای گیتاشناختی است. همچنین این مدل می‌تواند برای ایجاد این گیتاشناختی مفید باشد.

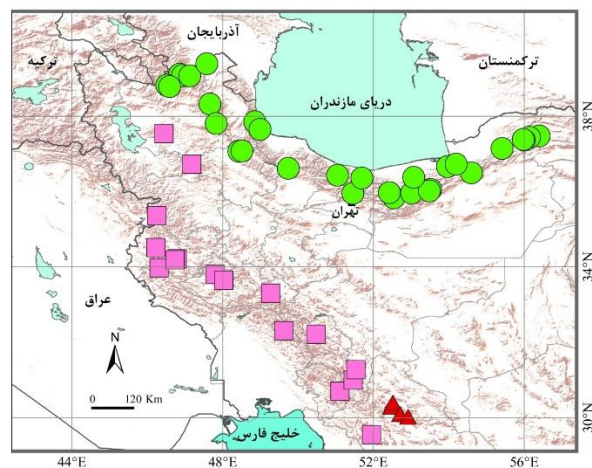
انجام شد. به منظور اجتناب از بهینه‌سازی محلی در استنتاج درخت به دست آمده، جستجوهای احتمال بیشینه با ۲۰۰ تکرار اجرا شد. تعداد ۱۰۰۰ تکرار برای دست‌یابی به درخت بوتاسترپ و ۱۰۰۰ تکرار برای دست‌یابی به درخت بوتاسترپ سریع در نظر گرفته شد. علاوه بر این، روابط تبارشاختی بین هاپلوتاپ‌ها، براساس تحلیل اتصال میانه (Bandelt و همکاران، ۱۹۹۹) برآورد شد. به این منظور، از نرم‌افزار Network ۴,۶,۱,۳ برای استنتاج روابط تبارشاختی بین هاپلوتاپ‌ها در توالی‌های ناحیه کنترل استفاده شد. تعداد هاپلوتاپ‌ها، جایگاه‌های چندربختی، تنوع هاپلوتاپی و تنوع نوکلئوتیدی با استفاده از نرم‌افزار Librado و Rozas ۵,۱۰ (DnaSP و Cockerham و Weir ۱۹۸۴) محاسبه شد.

برای تعیین سطوح ساختار جمعیتی از تحلیل واریانس مولکولی (AMOVA) و نمایه  $F_{ST}$  (Weir و Cockerham ۱۹۸۴) در نرم‌افزار Arlequin ۳,۵ (Excoffier و Lischer) استفاده شد. تحلیل‌ها با ۱۰۰۰۰ تکرار و در دو سطح سلسه مراتبی انجام شد. در اولین سطح تنها خرس‌های قهوه‌ای ایران در تحلیل استفاده شدند، در حالی که در دومین سطح تمامی کلادهای خرس قهوه‌ای و خرس قطبی تحلیل شدند.

## نتایج

تحلیل تبارشاختی قطعه ۶۱۴ جفت باز از ناحیه کنترل براساس دو شیوه استنتاج بیزین و احتمال بیشینه، نتایج مشابهی را به دست داد (شکل ۲). بر این اساس، خرس‌های قهوه‌ای ایران در تباری مجزا از دیگر خرس‌های قهوه‌ای جهان و در سه زیرکlad مجزای گیتابشاختی در برگیرنده البرز (شمال ایران)، زاگرس (غرب ایران) و زاگرس جنوب شرقی (فارس) تقسیم شدند. زیرکlad البرز (نمونه) تمامی خرس‌های قهوه‌ای ساکن در شمال ایران از شرق البرز (خراسان شمالی) تا کوه‌های ارسپاران (آذربایجان شرقی) را در بر می‌گیرد. این جمعیت در برگیرنده موقعیت‌های نمونه‌برداری پیوسته از منطقه حفاظت شده رخود تا پارک ملی گلستان، دامغان، مینودشت، کردکوی، بندر گز، ساری، آمل، منطقه حفاظت شده پرور، منطقه حفاظت شده البرز مرکزی، فیروزکوه، شمیرانات، کلاردشت، روبار، منطقه حفاظت شده سرخ آباد، تالش، کوه‌های بزغوش، مشکین شهر، منطقه حفاظت شده مغان، کلیبر، منطقه حفاظت شده ارسپاران و منطقه حفاظت شده دیزمار است. خرس‌های قهوه‌ای غرب کشور (نمونه) از زاگرس جنوبی در محدوده کازرون (استان فارس) تا کهگیلویه و بویراحمد، اصفهان (سمیرم)، چهارمحال و بختیاری، لرستان، خوزستان، ایلام، کرمانشاه، کردستان، تکاب (آذربایجان غربی) و بخش جنوبی کوه‌های سهند (آذربایجان شرقی) زیرکlad زاگرس را تشکیل دادند. نکته قابل توجه

و UCRS1R (GTACACGTGCGTCGTTCTTC-3'). واکنش زنجیره‌ای پلی‌مراز در ۳۵ چرخه با واسرشت اولیه ۹۵ درجه سانتی‌گراد در پنج دقیقه، واسرشت ۹۴ درجه سانتی‌گراد در ۳۰ ثانیه، اتصال آغازگرها در ۶۱ درجه سانتی‌گراد به مدت ۳۰ ثانیه، گسترش زنجیره در ۷۲ درجه سانتی‌گراد به مدت یک دقیقه و در نهایت گسترش نهایی زنجیره در ۷۲ درجه سانتی‌گراد و مدت پنج دقیقه اجرا شد.



شکل ۱: موقعیت گیتابشاختی نمونه‌های خرس قهوه‌ای استفاده شده در تحلیل‌ها

شکل‌های هندسی، زیرکladهای شناسایی شده را نشان می‌دهند: دایره: زیرکlad البرز، مربع: زیرکlad زاگرس، مثلث: زیرکlad فارس

از نرم‌افزار Seqscape ۳/۰ برای ویرایش نوکلئوتیدی توالی‌ها استفاده شد. ردیف‌بایی توالی‌ها با استفاده از ClustalW (Thompson ۱۹۹۴) در نرم‌افزار Mega ۶ (Tamura و همکاران، ۲۰۱۳) و همکاران، ۱۹۹۴) در نرم‌افزار Tamura (۲۰۱۰) انجام شد. توالی‌های متعلق به خرس سیاه آسیایی (*U. thibetanus*), خرس سیاه آمریکایی (*U. americanus*) و خرس غار (*U. spelaeus*) به عنوان برونو گروه استفاده شدند.

بهترین مدل‌های جایگزینی نوکلئوتیدی با استفاده از PartitionFinder ۱,۱,۱ (Lanfear ۲۰۱۴ و ۲۰۱۲) با معیار اطلاعاتی بیزین تعیین شد. درخت‌های تبارشاختی با استفاده از شیوه‌های احتمال بیشینه و استنتاج بیزین رسم شدند. تحلیل‌های بیزین با استفاده از نرم‌افزار MrBayes ۳,۲,۲ (Ronquist ۲۰۰۳)، Hulsenbeck (MrBayes ۳,۲,۲)، چهار اجرای MCMC (MCMC) با چهار زمان و تعداد ۵۰ میلیون تکرار اجرا شد. نمونه‌برداری‌ها در هر ۱۰۰۰ تکرار انجام شد و ۱۰ درصد درخت‌های حاصل شده از تحلیل کنار گذاشته شدند و برای دست‌یابی به بهترین درخت از قانون اکثریت استفاده شد. تحلیل‌های احتمال بیشینه با استفاده از GTRGAMMA (Stamatakis ۲۰۱۴)، RAxML ۸,۲ (Bamid).



در سطح جهانی، عمومی‌ترین هاپلوتاپ به کlad ۳a اختصاص دارد که در بین ۹۳ فرد متعلق به آلاسکا، شرق دور روسیه تا روسیه مرکزی، روسیه غربی، استونی، فنلاند، رومانی و بلغارستان مشاهده شده است. سایر کلادها در مقایسه با کlad ۳a پراکنش به نسبت محدودتری دارند. کlad ۳b در شرق هوکایدو (ژاپن)، شرق دور روسیه و آلاسکا حضور دارد. کlad ۴ در آمریکای شمالی و کlad ۱ در اروپای غربی مشاهده می‌شود. هاپلوتاپ‌های متعلق به کlad ۳d فقط در جنوب هوکایدو مشاهده می‌شوند. کlad ۲a فقط در جزایر ABC در آلاسکا مشاهده شده است.

تحلیل ANOVA نشان داد که اختلاف ژنتیکی در بین زیرکلادهای جهانی (۸۸/۸۱ درصد) بیش از اختلاف ژنتیکی در داخل AMOVA درصد) این گروه‌ها است (جدول ۱). همچنین، تحلیل AMOVA نشان داد که اختلاف ژنتیکی بسیار زیاد و معنی‌داری در بین زیرکلادهای ایران (۷۸/۳۲ درصد) وجود دارد. علاوه بر این، نمایه FST نیز وجود یک ساختار ژنتیکی معنی‌دار را در بین زیرکلادهای شناسایی شده خرس قهوه‌ای در ایران مورد تائید قرار می‌دهد (جدول ۱).

جدول ۲ برخی آماره‌های ژنتیکی مربوط به قطعه ۶۱۴ جفت باز از ناحیه کنترل را بر اساس یک دسته داده شامل ۵۰ توالی از ایران و ۸۴ توالی استخراج شده از بانک زن نشان می‌دهد. در مجموع، ۳۲۱ جایگاه متغیر (۷۴ جایگاه پارسیمونی و ۱۰ تک نوکلئوتیدی) و ۱۱۱ هاپلوتاپ شناسایی شد. در بین توالی‌های ایران، ۲۲ هاپلوتاپ جدید شناسایی شد. زیادترین و کمترین تنوع هاپلوتاپی در میان تمامی جمعیت‌های خرس قهوه‌ای، به ترتیب در بین خرس‌های البرز (۰/۰۰۰۰۲۶)، انحراف معیار = ۰/۲۴۱۱ و خرس‌های فارس (۰/۰۰۰۰۲۶) مشاهده شد. تنوع نوکلئوتیدی در بین خرس‌های البرز و زاگرس به ترتیب در حدود ۰/۰۰۴۷۸ (انحراف معیار = ۰/۰۰۰۳۵) و ۰/۰۰۴۱ (انحراف معیار = ۰/۰۰۰۰۸۳) برآورد شد. قابل ذکر است که اغلب کلادهای جهانی همانند خرس‌های ایران از تنوع نوکلئوتیدی به نسبت کم برخوردار بوده‌اند.

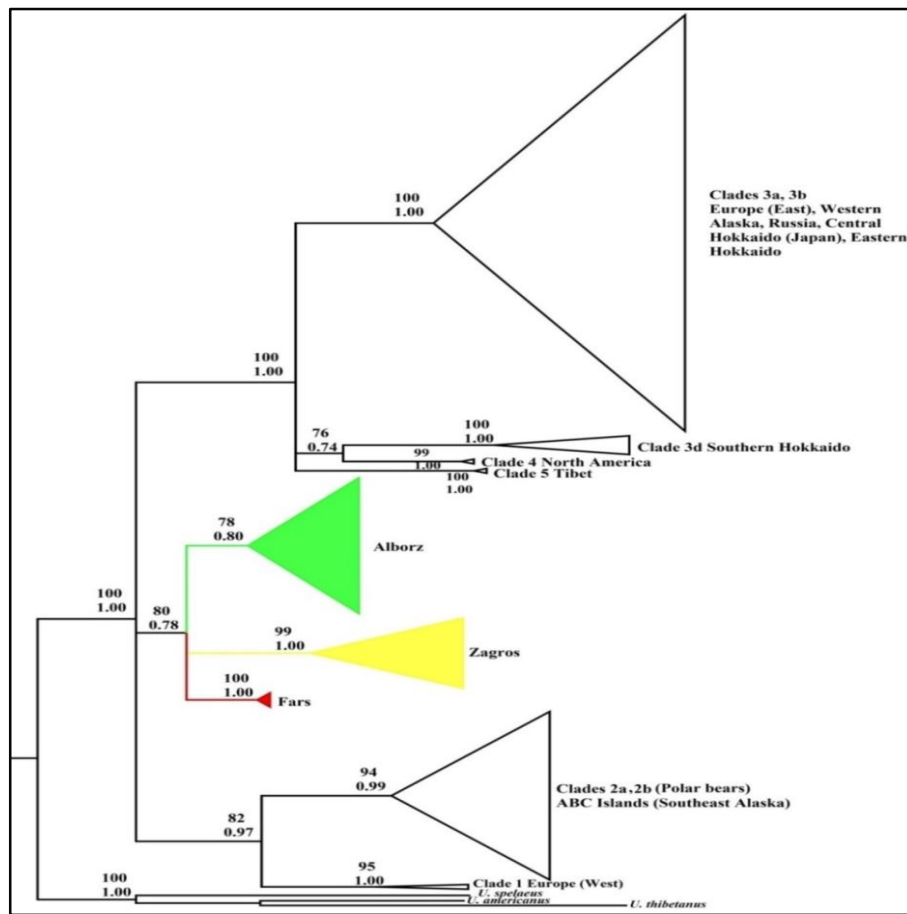
این که خرس‌های قهوه‌ای زاگرس جنوب‌شرقی، که به نظر می‌رسد از نظر گیتاشناختی در یک محدوده مجزای به نسبت کوچک در شهرستان‌های مرودشت و امامزاده اسماعیل و اقلید ساکن هستند، یک زیرکlad مجزای دیگر را نسبت به سایر خرس‌های زاگرس به خود اختصاص می‌دهند.

تحلیل شبکه هاپلوتاپی خرس‌های ایران را در سه زیرکlad مجزا قرار می‌دهد (شکل ۳). بر این اساس، خرس‌های نوار شمالی ایران (۳۰ نمونه) از منطقه حفاظت شده قرخود (خرسان شمالی) در شرق البرز و در امتداد رشته کوه‌های البرز تا غرب البرز و از آن جا تا مناطق حفاظت شده ارسیاران و دیزمار (آذربایجان شرقی)، با ۱۴ هاپلوتاپ، در زیرکlad البرز قرار گرفتند. در این تحلیل، پنج نمونه از تهران (ارجمند)، مازندران (سوادکوه)، سمنان (منطقه حفاظت شده پرور)، گلستان (کردکوی و مینودشت) در یک هاپلوتاپ مشترک قرار می‌گیرند. هاپلوتاپ مشترک دیگر بین پنج نمونه از آذربایجان شرقی (منطقه حفاظت شده ارسیاران، شمال کلیبر، بزغوش)، زنجان (منطقه حفاظت شده سرخ‌آباد) و مازندران (لاریجان) شکل می‌گیرد. همچنین، چهار نمونه از آذربایجان شرقی (شمال ارسیاران)، اردبیل (منطقه حفاظت شده مغان)، گیلان (تالش) و سمنان (منطقه حفاظت شده پرور) هاپلوتاپ مشترک دیگری را تشکیل می‌دهند. خرس‌های غرب کشور (۱۶ نمونه)، همانند درخت تبارشناختی، از کازرون (فارس) در جنوب زاگرس و در امتداد رشته کوه‌های زاگرس تا زاگرس شمالی و گسترهای از استان‌های فارس (کازرون)، کهگیلویه و بویراحمد (کوه‌های ساوزر)، اصفهان (منطقه حفاظت شده دنا و سمیرم)، لرستان (منطقه حفاظت شده سفیدکوه، منطقه حفاظت شده اشتاران کوه)، خوزستان (منطقه حفاظت شده شیمبار) و کرمانشاه (منطقه حفاظت شده قلاچه) شکل می‌گیرد. خرس‌های ساکن جنوب‌شرق زاگرس (چهار نمونه) در محدوده مرودشت و امامزاده اسماعیل، به یک هاپلوتاپ تعلق داشته و در زیرکlad فارس قرار می‌گیرند.

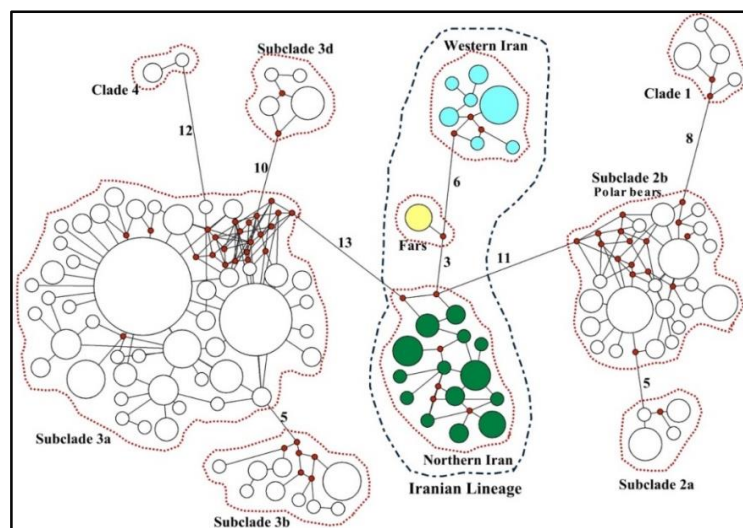
جدول ۱: تحلیل واریانس مولکولی. تحلیل اول: در بین سه زیرکlad ایران، تحلیل دوم: در بین تمامی زیرکلادها و کلادهای خرس قهوه‌ای و خرس قطبی

p-value	F <sub>ST</sub>	درصد تغییرات	درجه آزادی	منبع تغییرات	تحلیل اول
۰/۰۰۰	۰/۷۸۳	۷۸/۳۲	۲	بین زیرکلادها	
		۲۱/۶۸	۴۷	درون زیرکلادها	
۰/۰۰۰	۰/۸۸۸	۸۸/۸۱	۹	بین زیرکلادها	تحلیل دوم
		۱۱/۱۹	۱۷۸	درون زیرکلادها	





شکل ۲: روابط تبارشناختی بین خرس‌های قهوه‌ای ایران و سایر خرس‌های قهوه‌ای و قطبی براساس ۶۱۴ جفت باز از ناحیه کنترل میتوکندری خرس سیاه آسیایی (*U. thibetanus*), خرس سیاه آمریکایی (*U. americanus*) و خرس غار (*U. spelaeus*). به عنوان بروونگروه استفاده شدند. اعداد روی شاخه‌ها مقدار بوت استرپ (بالا) و احتمال پسین (زیر) را به ترتیب براساس احتمال بیشینه و استنتاج بیزین نشان می‌دهند.



شکل ۳: روابط تبارشناختی بین خرس‌های قهوه‌ای ایران و سایر خرس‌های قهوه‌ای و قطبی با استفاده از روش اتصال میانه، بر اساس توالی‌های ۶۱۴ جفت باز از ناحیه کنترل میتوکندری



جدول ۲: برخی آماره‌های ژنتیکی برای خرس‌های ایران در مقایسه با سایر کладهای خرس‌های قهوه‌ای و قطبی براساس توالی ۶۱۴ جفت باز از ناحیه کنترل

P	K	Pi (SD)	Hd (SD)	h	n	گروه
۹	۲/۸۵۷	۰/۰۰۴۶۵(۰/۰۰۱۷۵)	۰/۷۵۰(۰/۱۳۹)	۴	۸	کlad ۱
۵	۲/۱۰۹	۰/۰۰۳۴۴(۰/۰۰۰۶۷)	۰/۶۷۳(۰/۱۲۳)	۴	۱۱	کlad a۲
۱۸	۳/۰۵۹	۰/۰۰۴۹۸(۰/۰۰۰۴۷)	۰/۹۰۰(۰/۰۲۴)	۲۰	۵۲	کlad b۲
۳۰	۱/۶۹	۰/۰۰۲۷۵(۰/۰۰۰۱۸)	۰/۷۹۷(۰/۰۲۶)	۴۶	۲۱۸	کlad a۳
۱۹	۵/۷۵۴	۰/۰۰۹۳۷(۰/۰۰۱۳)	۰/۸۱۹(۰/۰۸۲)	۹	۱۹	کlad b۳
۷	۲/۲	۰/۰۰۳۵۸(۰/۰۰۱۲۲)	۰/۶۴۴(۰/۱۵۲)	۴	۱۰	کlad d۳
۲	۱/۳۳۳	۰/۰۰۲۱۷(۰/۰۰۱۰)	۰/۶۶۷(۰/۳۱۴)	۲	۳	کlad ۴
۱۰	۲/۹۳۳	۰/۰۰۴۷۸(۰/۰۰۰۳۵)	۰/۹۲۶(۰/۰۲۴)	۱۴	۳۰	زیرکlad البرز
۱۰	۲/۵۱۷	۰/۰۰۴۱(۰/۰۰۰۸۳)	۰/۷۵۲(۰/۰۱۷)	۷	۱۶	زیرکlad زاگرس
۰	۰/۰۰	۰/۰۰۰۰	۰/۰۰۰۰	۱	۴	زیرکlad فارس

میتوکندری، n: تعداد افراد؛ h: تعداد هاپلوتاپ؛ Hd: تنوع هاپلوتاپ؛ Pi: انحراف معیار؛ SD: تنوع نوکلئوتیدی بهازی هر جایگاه؛ K: متوسط تعداد اختلاف نوکلئوتیدی؛ P: تعداد جایگاه‌های متغیر.

## بحث

سوری ارتباط بسیار نزدیکی را با کlad ۳a (شامل جمعیت‌هایی از اروپای شرقی، آسیا و آمریکای شمالی) نشان می‌دهند (Murtskhvaladze و همکاران، ۲۰۱۰؛ Calvignac و Taberlet، ۱۹۹۴). از سوی دیگر، خرس‌های قهوه‌ای Taberlet (نمونه فسیلی) ارتباط نزدیکی را با کlad ۱ نشان می‌دهند (Taberlet و Bouvet، ۱۹۹۴). به هر حال، نمونه فسیلی لبنان اختلاف به نسبت زیادی با سایر هاپلوتاپ‌های کlad ۱ دارد (Valdiosera و همکاران، ۲۰۰۷). بنابراین، احتمالاً کlad اروپای غربی در گذشته تنوع ژنتیکی بالاتری نسبت به امروز داشته است. همچنین، به نظر می‌رسد این کlad در گذشته گستره بزرگ‌تری را نسبت به امروز اشغال می‌کرده است. این کlad از نظر تاریخی در اروپای غربی، آفریقای شمالی و خاورمیانه حضور داشته است (Calvignac و همکاران، ۲۰۰۸).

خرس‌های قهوه‌ای قفقاز (گرجستان)، براساس تحلیل قطعه ۲۷۱ جفت باز، به دو هاپلوگروپ مجزا تقسیم شده و در کlad ۳a قرار می‌گیرند (Murtskhvaladze و همکاران، ۲۰۱۰). خرس‌های قفقاز، در مقایسه با دیگر توالی‌های متعلق به کlad ۳a، نزدیک‌ترین رابطه را با خرس‌های خاورمیانه (توالی‌های متعلق به کlad ۳a) نشان می‌دهند، اگرچه هیچ هاپلوتاپ مشترکی بین آن‌ها وجود ندارد. همچنین، یک پژوهش اخیر در ترکیه (Çilingir و همکاران، ۲۰۱۶) که براساس یک قطعه ۲۶۹ جفت باز از ناحیه کنترل (۳۵ نمونه، ۱۴ هاپلوتاپ) انجام شده است، تنوع قابل توجهی از حضور تبارهای مادری خرس قهوه‌ای را در این کشور تأیید می‌کند. براساس این پژوهش، توالی‌هایی از کlad ۳a، کlad ۱ و تبار ایران در ترکیه ثبت شده است (Çilingir و همکاران، ۲۰۰۹).

در آرایه‌شناسی کلاسیک، خرس‌های قهوه‌ای خاورمیانه با ویژگی‌هایی از قبیل اندازه جثه کوچک، دندان‌های آسیایی کوچک و بور بودن پوشش بدن و بیش تر بر پایه جنبه‌های ریخت‌شناختی و ریخت‌سنگی تنها به عنوان یک زیرگونه (*U. arctos syriacus*) (Kurten، ۱۹۶۵). به هر حال، الگوی‌های ژنتیکی ارائه شده توافقی با این توصیف ندارند (Calvignac و همکاران، ۲۰۰۹؛ Miller و همکاران، ۱۹۹۶؛ Talbot و Shields، ۲۰۰۶). پژوهش‌ها نشان داده‌اند که خاورمیانه و شمال آفریقا، از نظر تاریخی موطنی برای چندین کlad (کladهای ۵، ۶، شمال آفریقا و ایران) بوده‌اند. روابط این کladها با سایر خرس‌های قهوه‌ای روش‌نشده است (Davisson و همکاران، ۲۰۱۱). عدم دسترسی به نمونه‌های کافی از جمعیت‌های خاورمیانه سبب شده است تا تجزیه و تحلیل درستی از موقعیت این جمعیت‌ها در ارتباط با سایر کladها ممکن نباشد. با این وجود، پژوهش‌های انجام شده به کمک ناحیه کنترل میتوکندری و نیز سیتوکروم b برای تعداد اندکی از خرس‌های خاورمیانه (تعداد ۱۰ فرد، توالی‌های کوچک‌تر از ۳۰۰ جفت باز) منجر به شناسایی حداقل شش هاپلوتاپ میتوکندری‌بایی مختلف شده است (Calvignac و همکاران، ۲۰۰۹؛ Miller و همکاران، ۱۹۹۶؛ Talbot و Shields، ۲۰۰۶). این یافته‌ها نشان می‌دهد که احتمالاً جمعیت‌های خرس قهوه‌ای در منطقه خاورمیانه از تنوع ژنتیکی بالایی برخوردار بوده و حداقل به سه کlad متمایز متعلق‌اند (Calvignac و همکاران، ۲۰۰۹). براساس بررسی‌ها، برخی نمونه‌های خرس قهوه‌ای

کلادهای خرس قهوه‌ای در جهان مجزا بوده و در یک کلاد جداگانه قرار می‌گیرند. همچنین قابل ذکر است که خرس‌های ایران از خرس‌های قفقاز (Murtskhvaladze و همکاران، ۲۰۱۰)، ترکیه و لبنان (Calvignac و همکاران، ۲۰۰۹؛ Miller و همکاران، ۲۰۰۶؛ Talbot و همکاران، ۱۹۹۶) در شمال غرب و غرب و خرس‌های پاکستان (Miller و همکاران، ۲۰۰۶) در شرق کشور به طور کامل مجزا هستند.

حضور دو یا سه زیرکلاد خرس قهوه‌ای در ایران و به ویژه گستره پراکنش آن‌ها، به یک تمایز گیتاشناختی مشابه آن‌چه که در الگوهای شناخته شده در خرس‌های قهوه‌ای ساکن در آمریکای شمالی، اروپا و آسیا دیده می‌شود، اشاره دارد (Hirata و همکاران، ۲۰۱۳؛ Keis و همکاران، ۲۰۰۹؛ Korsten و همکاران، ۲۰۱۳؛ Calvignac و همکاران، ۲۰۰۹؛ Taberlet و همکاران، ۲۰۰۶؛ Kohn و همکاران، ۲۰۰۶؛ Miller و همکاران، ۲۰۰۹؛ Bouvet و همکاران، ۱۹۹۴؛ Randi و همکاران، ۱۹۹۴) در حال حاضر به نظر می‌رسد زیرکلاد فارس به یک گستره گیتاشناختی کوچک واقع در کوههای جنوب‌شرقی زاگرس (مروودشت، امامزاده اسماعیل و اقلید و باغ شادی) محدود شده است، در حالی که دو زیرکلاد دیگر (البرز و زاگرس) پراکنش به نسبت گستردۀ تری در ایران دارند.

به طور خلاصه، خرس‌های ایران در مقایسه با خرس‌های قهوه‌ای آمریکای شمالی و اروپا (Hirata و همکاران، ۲۰۱۳؛ Keis و همکاران، ۲۰۰۹؛ Calvignac و همکاران، ۲۰۰۶؛ Miller و همکاران، ۲۰۰۹؛ Waits و همکاران، ۱۹۹۸) تنوع هاپلوتاپی به نسبت زیادی در توالی ناحیه کنترل میتوکندری نشان می‌دهند. یافته‌های AMOVA و  $F_{ST}$  وجود ساختار ژنتیکی معنی دار بین زیرکلادهای خرس قهوه‌ای در ایران را تائید می‌نماید. بنابراین، جمعیت‌های امروزی خرس قهوه‌ای در ایران، علاوه بر تنوع هاپلوتاپی به نسبت زیاد، ساختارهای گیتاشناختی مشخصی را نمایش می‌دهند.

## تشکر و قدردانی

نگارندگان بر خود لازم می‌دانند از همکاری صمیمانه کارشناسان محترم آزمایشگاه مرکزی پرديس کشاورزی و منابع طبیعی دانشگاه تهران مهندس کاوه خسرویانی و دکتر ندا قوتی سپاسگزاری نمایند. همچنین از همکاری ارزشمند کارشناسان دفتر موزه تاریخ طبیعی و ذخایر ژنتیکی سازمان حفاظت محیط زیست به ویژه مهندس حبیب‌آخوند حقی، مهندس راضیه محمدی و مهندس زینب فتح‌الله‌زاده قدردانی می‌شود. این پژوهش با حمایت مالی صندوق حمایت از پژوهشگران و فناوران کشور (INSF) و همچنین همکاری سازمان حفاظت محیط زیست به انجام رسیده است که مراتب سپاس و قدردانی به عمل می‌آید.

و همکاران، ۲۰۱۵). حضور کلادهای ۱ و ۳a در ترکیه همراه با گزارش نمونه‌هایی از توالی‌های امروزی تبار ایران در خرس‌های ترکیه وجود یک ارتباط پیچیده را در این بخش از گستره پراکنش خرس‌های قهوه‌ای مورد تأیید قرار می‌دهد.

پیش از این، سه نمونه خرس قهوه‌ای (۲۷۱) جفت باز از ناحیه کنترل متعلق به شمال غرب ایران در تحلیل‌های تبار‌شناختی استفاده شده‌اند (Calvignac و همکاران، ۲۰۰۹؛ Miller و همکاران، ۲۰۰۶). بر پایه تحلیل‌ها، این خرس‌ها در هیچ‌کدام از کلادهای شناسایی شده جای نگرفته و احتمالاً یک کلاد متمایز از دیگر کلادهای خاورمیانه تشکیل می‌دهند (Davison و همکاران، ۲۰۱۱؛ Calvignac و همکاران، ۲۰۰۹؛ Miller و همکاران، ۲۰۰۶). علاوه بر این، انتظار می‌رود خرس‌های ایران از تنوع ژنتیکی قابل توجهی برخوردار هستند، چرا که مطالعه سه نمونه از خرس‌های ایران، منجر به کشف سه هاپلوتاپ جدید شده است (Calvignac و همکاران، ۲۰۰۹). در مجموع، همه پژوهش‌های پیشین بر این نکته اتفاق نظر دارند که در حال حاضر نمی‌توان جایگاه مشخصی برای خرس قهوه‌ای ایران اعلام نمود و نمونه‌برداری و انجام بررسی‌های گستردۀ در این زمینه، ضروری است Davison و همکاران، ۲۰۱۱؛ Calvignac و همکاران، ۲۰۰۹؛ Miller و همکاران، ۲۰۰۸ و Miller و همکاران، ۲۰۰۶).

در این پژوهش، ۵۰ نمونه خرس قهوه‌ای از ایران براساس یک قطعه ۶۱۴ جفت باز از ناحیه کنترل میتوکندری توالی‌بایی شد. یافته‌های حاصل از تحلیل‌های بیشینه احتمال و بیشینه به طور مشابه با ارزش‌های بوتاسترپ و احتمال پسین بالا خرس‌های قهوه‌ای ایران را در یک تبار کاملاً مجزا از کلادهای جهانی خرس قهوه‌ای قرار دادند. خرس‌های ایران جدا از سایر کلادهای شناخته شده به سه زیرکلاد زاگرس (۱) زیرکلاد البرز (۳۰ نمونه، ۱۴ هاپلوتاپ)، (۲) زیرکلاد زاگرس (۱۶ نمونه، هفت هاپلوتاپ) و (۳) زیرکلاد فارس در جنوب‌شرقی زاگرس (۴ نمونه، یک هاپلوتاپ) تقسیم شدند. در این تحلیل تمامی خرس‌های قهوه‌ای ساکن البرز تا ارسباران در اولین زیرکلاد (البرز) قرار گرفتند. گستره گیتاشناختی دومین زیرکلاد (زاگرس)، به طور پیوسته در برگیرنده تمامی خرس‌های قهوه‌ای از سهند (آذربایجان شرقی) تا تکاب و از آن‌جا تا کردستان، کرمانشاه، ایلام، لرستان، چهارمحال و بختیاری، اصفهان، کهگیلویه و بویراحمد، خوزستان و کازرون (در استان فارس) است. چهار نمونه در محدوده مروودشت و امامزاده اسماعیل (استان فارس) زیرکلاد سوم را تشکیل دادند. یافته‌های این مطالعه موافق با پیش‌بینی‌های سایر پژوهش‌ها (Davison و همکاران، ۲۰۱۱؛ Calvignac و همکاران، ۲۰۰۹؛ Miller و همکاران، ۲۰۰۷؛ Galbreath و همکاران، ۲۰۰۶) بر این نکته تاکید دارد که خرس‌های قهوه‌ای ایران از تمامی



## منابع

- United States and Mexico. Molecular Ecology. Vol. 15, pp: 4477-4485.
19. Murtskhvaladze, M.; Gavashelishvili, A. and Tarkhnishvili, D., 2010. Geographic and genetic boundaries of brown bear (*Ursus arctos*) population in the Caucasus. Molecular Ecology. Vol. 19, pp: 1829-1841.
20. Paetkau, D.; Waits, L.P.; Clarkson, P.L.; et al., 1998. Variation in genetic diversity across the range of North American brown bears. Conservation Biology. Vol. 12, pp: 418-429.
21. Randi, E.; Gentile, L.; Boscagli, G.; Huber, D. and Roth, H.U., 1994. Mitochondrial DNA sequence divergence among some west European brown bear (*Ursus arctos* L.) populations. Lessons for conservation. Journal of Heredity. Vol. 73, pp: 480-489.
22. Ridings, C., 2006. Green bear in the desert. International Bear News. Vol. 15, pp: 12-13.
23. Ronquist, F. and Huelsenbeck, J.P., 2003. MrBayes 3: Bayesian phylogenetic inference under mixed models. Bioinformatics. Vol. 19, pp: 1572-1574.
24. Servheen, C., 1990. The status and conservation of the bears of the world. International Association for Bear Research and Management Monograph Series No. 2.
25. Servheen, C.; Herrero, S. and Peyton, B., 1999. Bears: Status Survey and Conservation Action Plan. IUCN, Gland, Switzerland. 320 p.
26. Stamatakis, R., 2014. RAxML Version 8: A tool for Phylogenetic Analysis and Post-Analysis of Large Phylogenies. Bioinformatics.
27. Swenson, J.E.; Taberlet, P. and Bellemain, E., 2011. Genetics and conservation of European brown bears *Ursus arctos*. Mammal Review. Vol. 41, pp: 87-98.
28. Taberlet, P. and Bouvet, J., 1994. Mitochondrial DNA polymorphism, phylogeography and conservation genetics of the brown bear *Ursus arctos* in Europe. Proceedings of the Royal Society B: Biological Sciences. Vol. 255, pp: 195-200.
29. Talbot, S.L. and Shields, G.F., 1996. Phylogeography of brown bears (*Ursus arctos*) of Alaska and paraphyly within the Ursidae. Molecular Phylogenetics and Evolution. Vol. 5, pp: 477-494.
30. Tamura, K.; Stecher, G.; Peterson, D.; Filipski, A. and Kumar, S., 2013. MEGA6: Molecular Evolutionary Genetics Analysis Version 6.0. Molecular Biology and Evolution. Vol. 30, pp: 2725-2729.
31. Thompson, J.D.; Higgins, D.G. and Gibson, T.J., 1994. ClustalW: improving the sensitivity of progressive multiple sequence alignment through sequence weighting, position specific gap penalties and weight matrix choice. Nucleic Acids Research. 22, pp: 4673-4680.
32. Valdiosera, C.; Garcia, N.; Anderung, C.; Dalen, L.; Cregut-Bonouure, E.; Kahlke, R.D.; Stiller, M.; Brandstrom, M.; Thomas, M.G.; Arsuaga, J.; Goetherstrom, A. and Barnes, I., 2007. Staying out in the cold: glacial refugia and mitochondrial DNA phylogeography in ancient European brown bears. Molecular Ecology. Vol. 16, pp: 5140-5148.
33. Waits, L.P.; Talbot, S.; Ward, R. and Shields, G.F., 1998. Mitochondrial DNA phylogeography of the north American brown bear and implications for conservation. Conservation Biology. Vol. 12, pp: 408-417.
34. Weir, B.S. and Cockerham, C.C., 1984. Estimating F-statistics for the analysis of population-structure. Evolution. Vol. 38, pp: 1358-1370.
35. Zedrosser, A.; Dahle, B.; Swenson, J. and Gerstl, N., 2001. Status and management of the brown bear in Europe. Ursus. Vol. 12, pp: 9-20.
1. Bandelt, H.J.; Forster, P. and Röhl, A., 1999. Median-joining networks for inferring intraspecific phylogenies. Molecular Biology and Evolution. Vol. 16, pp: 37-48.
2. Boitani, L.; Jdeidi, T.; Masseti, M.; de Smet, K. and Cuzin, F., 2008. *Ursus arctos*. IUCN Red List of Threatened Species, Version 2009.1. Calvignac, S.; Hughes, S.; Tougard, C.; Michaux, J.; Thevenot, M.; Philippe, M.; Hamidine, W. and Hänni, C., 2008. Ancient DNA evidence for the loss of a highly divergent brown bear clade during historical times. Molecular Ecol. Vol. 17, pp: 1962-1970.
3. Calvignac, S.; Hughes, S. and Hänni, C., 2009. Genetic diversity of endangered brownbear (*Ursus arctos*) populations at the cross roads of Europe, Asia and Africa. Diversity and Distributions. Vol. 15, pp: 742-750.
4. Can, O. and Togan, I., 2004. Status and management of brown bears in Turkey. Ursus 15, pp: 48-53.
5. Cilingir, F.G.; Peksen, C.A.; Ambarli, H.; Beerli, P. and Bilgin, C.C., 2015. Exceptional maternal lineage diversity in brown bears (*Ursus arctos*) from Turkey. Zoological Journal of the Linnean Society. doi: 10.1111/zoj.12322.
6. Davison, J.; Ho, S.Y.W.; Bray, S.C.; Korsten, M.; Tammeleht, E.; Hindrikson, M.; Østbye, K.; Østbye, E.; Lauritzen, S.E.; Cooper, A. and Saarma, U., 2011. Late Quaternary biogeographic scenarios for the brown bear (*Ursus arctos*), a wild mammal model species. Quaternary Science Reviews. Vol. 30, pp: 418-430.
7. Excoffier, L. and Lischer, H.E.L., 2010. Arlequin suite ver 3.0: a new series of programs to perform population genetics analyses under Linux and Windows. Molecular Ecology Resources. Vol. 10, pp: 564-567.
8. Galbreath, G.J.; Groves, C.P. and Waits, L.P., 2007. Genetic resolution of composition and phylogenetic placement of the Isabelline Bear. Ursus. Vol. 18, pp: 129-131.
9. Hailer, F.; Kutschera, V.E.; Hallstrom, B.M.; Klassert, D.; Fain, S.R.; Arnason, U. and Janke, A., 2012. Nuclear genomic sequences reveal that polar bears are an old and distinct bear lineage. Science. Vol. 336, pp: 344-347.
10. Hirata, D.; Mano, T.; Abramov, A.V.; Baryshnikov, G.F. and Kosintsev, P.A., 2013. Molecular phylogeography of the brown bear (*Ursus arctos*) in northeastern Asia based on analyses of complete mitochondrial DNA sequences. Molecular Biology and Evolution. Vol. 30, pp: 1644-1652.
11. Keis, M., 2013. Brown bear (*Ursus arctos*) phylogeography in northern Eurasia. PhD Thesis. Department of Zoology, Faculty of Science and Technology, University of Tartu, Estonia. 65 p.
12. Keis, M.; Remm, J.; Ho, S.Y.W.; Davison, J.; Tammeleht, E.; Tumanov, I.L.; et al., 2013. Complete mitochondrial genomes and a novel spatial genetic method reveal cryptic phyleogeographical structure and migration patterns among brown bears in north-western Eurasia. Journal of Biogeography. Vol. 40, pp: 915-927.
13. Kohn, M.; Knauer, F.; Stoffella, A.; Schroder, W. and Paabo, S., 1995. Conservation genetics of the European brown bear using excremental PCR of nuclear and mitochondrial sequences. Molec. Ecology. Vol. 4, pp: 95-103.
14. Korsten, M.; Ho, S.Y.W.; Davison, J.; Pahn, B.; Vulla, E. and Roht, M., 2009. Sudden expansion of a single brown bear maternal lineage across northern continental Eurasia after the last ice age: a general demographic model for mammals? Mol Ecol. Vol. 18, pp: 1963-1979.
15. Lanfear, R.; Calcott, B.; Ho, S.Y. and Guindon, S., 2012. PartitionFinder: combined selection of partitioning schemes and substitution models for phylogenetic analyses. Molecular Biology and Evolution. Vol. 29, pp: 1695-1701.
16. Lanfear, R.; Calcott, B.; Kainer, D.; Mayer, C. and Stamatakis, A., 2014. Selecting optimal partitioning schemes for phylogenomic datasets. BMC Evolutionary Biology. Vol. 14, 82 p.
17. Librado, P. and Rozas, J., 2009. DnaSP v5: a software for comprehensive analysis of DNA polymorphism data. Bioinformatics. Vol. 25, pp: 1451-1452.
18. Miller, C.R.; Waits, L.P. and Joyce, P., 2006. Phylogeography and mitochondrial diversity of extirpated brown bear (*Ursus arctos*) populations in the contiguous

